

# 論 論 報 告

第 23 卷 第 4 號 昭和 13 年 4 月

## 捲立円形隧道の応力分布

准員 谷 本 勉 之 助\*

The Distribution of Stress round a Circular Tunnel with Lining

By Bennosuke Tanimoto, C. E., Assoc. Member.

### 要 旨

捲立円形隧道に於て、捲立部及その周囲の重力体の応力分布を調べたものである。

### 1. 緒 言

起り得る変形が plane strain であるとして、重力の働く弾性体内に水平な円孔を開けた時、その周囲に起る可き応力分布の問題は、既に山口教授によつて解決せられてゐるが<sup>1)</sup> それに一定の厚さの同心円的捲立のある場合に就ては、未だ解かれたものがない様である。それで筆者は斯かる場合の孔の周囲の応力分布、並に捲立内に生ず可き応力分布を Airy の Stress-function を使つて解き、之が捲立のない場合、即ち山口教授の解かれたものと如何に異なるかを調べ、且つ假定した地山の性質其の他の定められた條件に對して、適當な捲厚を決めてみた。

計算に於ては、便宜上、此の重力体の上面は水平であるとし、且つ此の円孔附近の応力分布に就ては、土被りが相當大きくて、上面の影響を無視し得るものと假定した。

本論文は、山口教授、最上助教授の御指導の下に書き上げたものである。兩先生に厚く御禮を申し上げる次第である。

尙ほ式の表し方に就ては、通常の約束と多少異なるものを使つたが、それは照合と計算の便利の爲である。

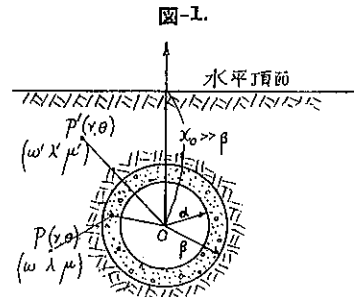
### 2. 極座標系による stress の形

Body force を有する弾性体の微小部分の、二次元的な平衡の基本方程式は、極座標系による時は

$$\frac{\partial \gamma \gamma}{\partial r} + \frac{1}{r} \frac{\partial \gamma \theta}{\partial \theta} + \frac{1}{r} (\widehat{\gamma \gamma} - \widehat{\theta \theta}) = \omega \cos \theta$$

$$\frac{\partial \gamma \theta}{\partial r} + \frac{1}{r} \frac{\partial \theta \theta}{\partial \theta} + \frac{2}{r} \widehat{\gamma \theta} = -\omega \sin \theta$$

各文字の在るべき位置を変へなければ、上式は次の様に略記しても間違ひは起らない。照合と計算との手間を大いに節約し得ることもあるので、以後すべてに此の種の略記を許して頂く。複雑な式程、此の種の略記が好都合な様である。



\* 工学士

<sup>1)</sup> 土木学会誌 15-4 (昭 4-4) 頁 291-303.

$$\left[ \frac{\partial}{\partial \gamma}, \frac{1}{\gamma} \frac{\partial}{\partial \theta} \right] \begin{bmatrix} \widehat{\gamma\gamma}, \widehat{\gamma\theta} \\ \widehat{\theta\gamma}, \widehat{\theta\theta} \end{bmatrix} + \frac{1}{\gamma} \begin{bmatrix} \widehat{\gamma\gamma} - \widehat{\theta\theta} \\ 2\widehat{\gamma\theta} \end{bmatrix} = \omega \begin{bmatrix} \cos \\ -\sin \end{bmatrix} \theta \quad \dots \dots \dots \quad (2.1)$$

茲に

$$\begin{bmatrix} \widehat{\gamma\gamma} \\ \widehat{\theta\theta} \end{bmatrix} : \begin{bmatrix} \text{半径} \\ \text{切線} \end{bmatrix} \text{ 方向の normal stress,}$$

$$\widehat{\gamma\theta} : \text{shearing stress } (\widehat{\gamma\gamma} = \widehat{\gamma\theta})$$

$\omega$  : 重力体の単位容積の重量 (深さにより不変と假定)

で、坐標系は図-1 の様に原點を重力体中にとり、原線の向きは鉛直上方とする。

(2.1) の  $\widehat{\gamma\gamma}$ ,  $\widehat{\gamma\theta}$ ,  $\widehat{\theta\theta}$  は

$$\begin{bmatrix} \widehat{\gamma\gamma} \\ \widehat{\gamma\theta} \\ \widehat{\theta\theta} \end{bmatrix} = \begin{bmatrix} \frac{1}{\gamma} \frac{\partial}{\partial \gamma} + \frac{1}{\gamma^2} \frac{\partial^2}{\partial \theta^2} \\ -\frac{\partial}{\partial \gamma} \frac{1}{\gamma} \frac{\partial}{\partial \theta} \\ \frac{\partial^2}{\partial \gamma^2} \end{bmatrix} \begin{bmatrix} 1 \\ \phi + \omega \gamma \\ 0 \end{bmatrix} \cos \theta \quad \dots \dots \dots \quad (2.2)$$

で、此の中の  $\phi$  は

$$\nabla^4 \phi = 0 \\ \text{或は} \quad \left( \frac{\partial^2}{\partial \gamma^2} + \frac{1}{\gamma} \frac{\partial}{\partial \gamma} + \frac{1}{\gamma^2} \frac{\partial^2}{\partial \theta^2} \right)^2 \phi = 0 \quad \dots \dots \dots \quad (2.3)$$

を満足する函数で、此所では J. H. Michell により求められてゐるもの<sup>2)</sup>を使ふ。即ち

$$\phi(\gamma\theta) = (a_0 \log \gamma + b_0 \gamma^2 + c_0 \gamma^2 \log \gamma) + d_0 \gamma^2 \theta + d_0' \theta \\ + \frac{1}{2} \begin{bmatrix} a_1 \\ c_1 \end{bmatrix} \gamma \theta \begin{bmatrix} \sin \theta \\ \cos \theta \end{bmatrix} + \left\{ \begin{bmatrix} b_1 \\ d_1 \end{bmatrix} \gamma^2 + \begin{bmatrix} a_1' \\ c_1' \end{bmatrix} \gamma^{-1} + \begin{bmatrix} b_1' \\ d_1' \end{bmatrix} \gamma \log \gamma \right\} \begin{bmatrix} \cos \theta \\ \sin \theta \end{bmatrix} \\ + \sum_{n=1}^{\infty} \begin{bmatrix} A_n \\ B_n \end{bmatrix} \begin{bmatrix} \cos n\theta \\ \sin n\theta \end{bmatrix} \quad \dots \dots \dots \quad (2.4)$$

茲に

$$\begin{bmatrix} A_n \\ B_n \end{bmatrix} = \begin{bmatrix} a_n \\ c_n \end{bmatrix} \gamma^n + \begin{bmatrix} b_n \\ d_n \end{bmatrix} \gamma^{n+2} + \begin{bmatrix} a_{n'} \\ c_{n'} \end{bmatrix} \gamma^{-n} + \begin{bmatrix} b_{n'} \\ d_{n'} \end{bmatrix} \gamma^{-n+2} \quad \dots \dots \dots \quad (2.5)$$

(2.4) を (2.2) に代入して stress は夫々

$$\widehat{\gamma\gamma} = \left( \frac{1}{\gamma} \frac{\partial}{\partial \gamma} + \frac{1}{\gamma^2} \frac{\partial^2}{\partial \theta^2} \right) \phi + \omega \gamma \cos \theta \\ = \left\{ a_0 \gamma^{-2} + 2b_0 + (1+2 \log \gamma) c_0 \right\} + 2d_0 \theta + 0 \\ + \left\{ \begin{bmatrix} a_1 \\ -c_1 \end{bmatrix} \gamma^{-1} + \begin{bmatrix} 2b_1 + \omega \\ 2d_1 \end{bmatrix} \gamma + \begin{bmatrix} -a_1' \\ -c_1' \end{bmatrix} 2\gamma^{-3} + \begin{bmatrix} b_1' \\ d_1' \end{bmatrix} \gamma^{-1} \right\} \begin{bmatrix} \cos \theta \\ \sin \theta \end{bmatrix} \\ + \sum \frac{1}{\gamma} \left( \frac{d}{d\gamma} - \frac{n^2}{\gamma} \right) \begin{bmatrix} A_n \\ B_n \end{bmatrix} \begin{bmatrix} \cos n\theta \\ \sin n\theta \end{bmatrix} \quad \dots \dots \dots \quad (2.6)$$

$$\widehat{\gamma\theta} = -\frac{\partial}{\partial \gamma} \left( \frac{1}{\gamma} \frac{\partial \phi}{\partial \theta} \right)$$

<sup>2)</sup> 本式は Timoshenko : Theory of Elasticity の中にあるものによつたが、Michell の原論文 (1899 年 Proc. London Math. Soc. XXXI. 111 頁) の中には  $\gamma^2 \theta$  の項がなく、 $\gamma \cos \theta$ ,  $\gamma \sin \theta$  の項がある。

$$\begin{aligned}
 &= \left\{ \begin{array}{ccc} 0 & 0 & 0 \end{array} \right\} + d_0 \gamma^{-2} \\
 &+ \left\{ \begin{array}{c} 0 \\ -2b_1 \\ -2d_1 \end{array} \right\} \gamma + \left[ \begin{array}{c} -a_1' \\ c_1' \end{array} \right] 2\gamma^{-3} + \left[ \begin{array}{c} b_1' \\ -d_1' \end{array} \right] \gamma^{-1} \left[ \begin{array}{c} \sin \theta \\ \cos \theta \end{array} \right] \\
 &+ \sum n \frac{d}{d\gamma} \left[ \begin{array}{c} A_n/\gamma \\ -B_n/\gamma \end{array} \right] \left[ \begin{array}{c} \sin n\theta \\ \cos n\theta \end{array} \right] \dots \dots \dots \quad (2.7)
 \end{aligned}$$

$$\begin{aligned}
 \widehat{\theta\theta} &= \frac{\partial^2 \phi}{\partial r^2} + \omega \gamma \cos \theta \\
 &= \left\{ -a_0 \gamma^{-2} + 2b_0 + (3 + 2 \log \gamma) c_0 \right\} + 2d_0 \theta + 0 \\
 &+ \left\{ 0 + \left[ \begin{array}{c} 6b_1 + \omega \\ 6d_1 \end{array} \right] \gamma + \left[ \begin{array}{c} a_1' \\ c_1' \end{array} \right] 2\gamma^{-3} + \left[ \begin{array}{c} b_1' \\ d_1' \end{array} \right] \gamma^{-1} \right\} \left[ \begin{array}{c} \cos \theta \\ \sin \theta \end{array} \right] \\
 &+ \sum \frac{d^2}{d\gamma^2} \left[ \begin{array}{c} A_n \\ B_n \end{array} \right] \left[ \begin{array}{c} \cos n\theta \\ \sin n\theta \end{array} \right] \dots \dots \dots \quad (2.8)
 \end{aligned}$$

### 3. 原線に關し對稱的に分布した stress の形

Stress は原線に關し對稱的に分布してゐなければならぬ(図-2), 卽ち

$$\left[ \begin{array}{c} \widehat{\gamma\gamma} \\ \widehat{\gamma\theta} \\ \widehat{\theta\theta} \end{array} \right] = \left[ \begin{array}{c} \widehat{\gamma\gamma} \\ -\widehat{\gamma\theta} \\ \widehat{\theta\theta} \end{array} \right] \dots \dots \dots \quad (3.1)$$

でなければならないから, 上の(2.6), (2.7), (2.8) の 3 式で, 括弧の中の上, 下の係數を夫々  $U$ ,  $L$  で代表させると

$$\left[ \begin{array}{c} U \\ L \end{array} \right] = \left[ \begin{array}{c} U \\ 0 \end{array} \right] \text{ 及 } d_0 = d_0' = 0 \dots \dots \dots \quad (3.2)$$

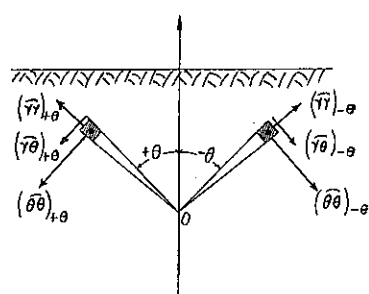
となり, 3 式は纏めて次の様になる。

$$\begin{aligned}
 S &\equiv \left[ \begin{array}{c} \widehat{\gamma\gamma} \\ \widehat{\gamma\theta} \\ \widehat{\theta\theta} \end{array} \right] = \left\{ \begin{array}{c} \left[ \begin{array}{c} 1 \\ 0 \\ -1 \end{array} \right] a_0 \gamma^{-2} + \left[ \begin{array}{c} 1 \\ 0 \\ 1 \end{array} \right] 2b_0 + \left[ \begin{array}{c} 1 \\ 0 \\ 3 \end{array} \right] c_0 + \left[ \begin{array}{c} 1 \\ 0 \\ 1 \end{array} \right] 2c_0 \log \gamma \end{array} \right\} \\
 &+ \left\{ \begin{array}{c} \left[ \begin{array}{c} 1 \\ 0 \\ 0 \end{array} \right] a_1 \gamma^{-1} + \left[ \begin{array}{c} 2b_1 + \omega \\ 2b_1 \\ 6b_1 + \omega \end{array} \right] \gamma + \left[ \begin{array}{c} -1 \\ -1 \\ 1 \end{array} \right] 2a_1' \gamma^{-3} + b_1' \gamma^{-1} \end{array} \right\} \left[ \begin{array}{c} \cos \theta \\ \sin \theta \\ \cos \theta \end{array} \right] \\
 &+ \sum_{n=2}^{\infty} \left[ \begin{array}{c} \frac{1}{\gamma} \left( \frac{d}{d\gamma} - \frac{n^2}{\gamma} \right) \\ n \frac{1}{\gamma} \left( \frac{d}{d\gamma} - \frac{1}{\gamma} \right) \\ \frac{d^2}{d\gamma^2} \end{array} \right] A_n \left[ \begin{array}{c} \cos \\ \sin \\ \cos \end{array} \right] \dots \dots \dots \quad (3.3)
 \end{aligned}$$

(3.2) の證明は次の様である。

(2.6), (2.7), (2.8) の stress の式に對稱の關係(3.1) を代入すると

図-2.



$$\begin{aligned}
 & \left[ \begin{array}{c|c} 1 & \begin{pmatrix} 0 \\ 2d_0\theta + d_0'\gamma^{-2} \\ 0 \end{pmatrix} \\ \hline 0 & 1 \\ 1 & 0 \end{array} \right] \\
 & + \left\{ \begin{pmatrix} -1 \\ 0 \\ 0 \end{pmatrix} c_1\gamma^{-1} + \begin{pmatrix} 1 \\ 1 \\ 3 \end{pmatrix} 2d_1\gamma + \begin{pmatrix} -1 \\ -1 \\ 1 \end{pmatrix} 2c_1'\gamma^{-3} + d_1'\gamma^{-1} \right\} \begin{pmatrix} \sin \\ -\cos \\ \sin \end{pmatrix} \theta \\
 & + \sum_{n=2}^{\infty} \begin{pmatrix} \frac{1}{\gamma} \left( \frac{d}{d\gamma} - \frac{n^2}{\gamma} \right) \\ n \frac{1}{\gamma} \left( \frac{d}{d\gamma} - \frac{1}{\gamma} \right) \\ \frac{d^2}{d\gamma^2} \end{pmatrix} B_n \begin{pmatrix} \sin \\ -\cos \\ \sin \end{pmatrix} n\theta \dots \dots \dots \quad (3.4)
 \end{aligned}$$

が得られる。

$\theta$  を  $2\pi$  だけ増しても、stress は元に戻らねばならない、即ち

$$\begin{bmatrix} \gamma\gamma \\ \gamma\theta \\ \theta\theta \end{bmatrix}_\theta = \begin{bmatrix} \gamma\gamma \\ \gamma\theta \\ \theta\theta \end{bmatrix}_{\theta + \frac{n}{2}\pi} \dots \dots \dots \quad (3.5)$$

でなければならないから

$$\begin{bmatrix} 1 \\ 0 \\ 1 \end{bmatrix} 2d_0\theta = \begin{bmatrix} 1 \\ 0 \\ 1 \end{bmatrix} 2d_0(\theta + 2\pi)$$

∴  $d_0 = 0$  ..... (3.6)

(3.4) の残餘の項は直交 (orthogonal) で

(3.7), (3.8) は  $\gamma$  の勝手な値に就て成立しなければならないから

$$\left. \begin{array}{l} d_0' = 0 \\ c_1 = d_1 = c_1' = d_1' = 0 \end{array} \right\} \dots \dots \dots \quad (3.10)$$

(3.9) の第 3 式を積分すると

$$B_n = Mx + N \quad (M, N \text{ は積分常数})$$

の形になり、第1式、第2式に代入して

$$M=N=0$$

を容易に検し得る。

即ち、(2.5) で

斯くて、(3.2) は (3.6), (3.10), (3.11) で示されたのである。

(3.3) の  $\Sigma$  の中の  $n \geq 4$  のものは、管でも周囲の重力体でも、stress 及 displacement の両方に contribute しないことを示し得る。それで (3.3) に於て、 $n=2, 3$  のときだけ (2.5) によつて、 $\Sigma$  の中の

$$\mathfrak{N}_n = \left[ n \frac{1}{\gamma} \left( \frac{d}{d\gamma} - \frac{n^2}{\gamma} \right) \quad d^2 \frac{d}{d\gamma^2} \right] A_n$$

を計算しておくと

$$\begin{aligned} \mathfrak{N}_2 &\equiv \left[ \begin{array}{c|c} \frac{1}{\gamma} \left( \frac{d}{d\gamma} - \frac{4}{\gamma} \right) & \\ \hline 2 \frac{1}{\gamma} \left( \frac{d}{d\gamma} - \frac{1}{\gamma} \right) & (a_2 \gamma^2 + b_3 \gamma^4 + a_2' \gamma^{-3} + b_3') \\ \hline \frac{d^2}{d\gamma^2} & \end{array} \right] \\ &= \left[ \begin{array}{c|c|c|c|c|c} -1 & 0 & -1 & -2 \\ \hline 1 & 2a_2 + & 1 & 6b_3 \gamma^2 + & -1 & 6a_2' \gamma^{-4} + \\ \hline 1 & 2 & & 1 & & 0 \end{array} \right] 2b_3' \gamma^{-2} \\ \mathfrak{N}_3 &\equiv \left[ \begin{array}{c|c|c|c|c|c} \frac{1}{\gamma} \left( \frac{d}{d\gamma} - \frac{9}{\gamma} \right) & & & & & \\ \hline 3 \frac{1}{\gamma} \left( \frac{d}{d\gamma} - \frac{1}{\gamma} \right) & (a_3 \gamma^3 + b_4 \gamma^5 + a_3' \gamma^{-3} + b_4' \gamma^{-1}) \\ \hline \frac{d^2}{d\gamma^2} & \end{array} \right] \\ &= \left[ \begin{array}{c|c|c|c|c|c} -1 & -1 & -1 & -5 \\ \hline 1 & 6a_3 \gamma + & 3 & 4b_4 \gamma^3 + & -1 & 12a_3' \gamma^{-5} + \\ \hline 1 & 5 & & 1 & & 1 \end{array} \right] 2b_4' \gamma^{-1} \end{aligned}$$

になる。之等を代入して(3・3)を書き直すと  $c_0$  を省いて<sup>3)</sup>

<sup>3)</sup> 後の (6.8) に此の項を入れると,  $\theta$  が裸で出て dislocation を起すから。

$$S \equiv \begin{bmatrix} \widehat{\gamma\gamma} \\ \widehat{\gamma\theta} \\ \widehat{\theta\theta} \end{bmatrix} = \begin{bmatrix} 1 & 1 \\ 0 & a_0\gamma^{-2} + 0 & 2b_0 \\ -1 & 1 \end{bmatrix} + \left\{ \begin{bmatrix} 1 \\ 0 \\ 0 \end{bmatrix} a_1\gamma^{-1} + \begin{bmatrix} 1+\omega/(2b_1) \\ 1 \\ 3+\omega/(2b_1) \end{bmatrix} 2b_1\gamma + \begin{bmatrix} -1 \\ -1 \\ 1 \end{bmatrix} 2a_1'\gamma^{-3} + b_1'\gamma^{-1} \right\} \begin{bmatrix} \cos \\ \sin \\ \cos \end{bmatrix} \theta + \left\{ \begin{bmatrix} -1 \\ 1 \\ 1 \end{bmatrix} 2a_2 + \begin{bmatrix} 0 \\ 6b_2\gamma^2 \\ 2 \end{bmatrix} + \begin{bmatrix} -1 \\ -1 \\ 1 \end{bmatrix} 6a_2'\gamma^{-4} + \begin{bmatrix} -2 \\ -1 \\ 0 \end{bmatrix} 2b_2'\gamma^{-2} \right\} \begin{bmatrix} \cos \\ \sin \\ \cos \end{bmatrix} 2\theta + \left\{ \begin{bmatrix} -1 \\ 1 \\ 1 \end{bmatrix} 6a_3\gamma + \begin{bmatrix} -1 \\ 3 \\ 5 \end{bmatrix} 4b_3\gamma^3 + \begin{bmatrix} -1 \\ -1 \\ 1 \end{bmatrix} 12a_3'\gamma^{-5} + \begin{bmatrix} -5 \\ -3 \\ 1 \end{bmatrix} 2b_3'\gamma^{-3} \right\} \begin{bmatrix} \cos \\ \sin \\ \cos \end{bmatrix} 3\theta \quad \dots \dots \dots (3.12)$$

之を係数を取り出し、三角函数の項を一纏めにして

$$S = \begin{bmatrix} 1 & 1 \\ 0 & \gamma^{-2}, 0 \\ -1 & 1 \end{bmatrix} + \begin{bmatrix} 1 & 1+\omega/(11) & -1 \\ 0 & \gamma^{-1}, 1 & \gamma, -1 \\ 0 & 3+\omega/(11) & 1 \end{bmatrix} \begin{bmatrix} \cos \\ \sin \\ \cos \end{bmatrix} \Theta \dots \dots \dots (3.13)$$

$$\Theta(\cos) = \begin{bmatrix} 1 \\ \cos \theta \\ \cos 2\theta \\ \cos 3\theta \end{bmatrix} \text{をあらはす}$$

と記し

$$\mathfrak{M} \equiv \begin{bmatrix} (00), (01) \\ (10), (11), (12), (13) \\ (20), (21), (22), (23) \\ (30), (31), (32), (33) \end{bmatrix} = \begin{bmatrix} a_0, 2b_0 \\ a_1, 2b_1, 2a_1', b_1' \\ 2a_2, 6b_2, 6a_2', 2b_2' \\ 6a_3, 4b_3, 12a_3', 2b_3' \end{bmatrix} \dots \dots \dots (3.14)$$

できかへる。

上のものは管にも周囲の重力体にも共に適用できる形で、周囲の重力体では以後すべて dash 系を用ひることにする (図-1)

$$S' = \begin{bmatrix} & & & & \\ & 1 + \omega/(11)' & & & \\ & 1 & & & \\ & 3 + \omega/(11)' & & & \\ & & & & \\ & & & & \end{bmatrix} \begin{bmatrix} \cos \\ \sin \\ \cdot \\ \cdot \\ \cos \end{bmatrix} \quad \text{.....(3.15)}$$

(✓印は(3-13)と同じ)

$\mathfrak{M}'$  は (3.14) の  $\mathfrak{M}$  と同様に

である。

#### 4. 水平頂面を有つ無孔重力体内的応力分布

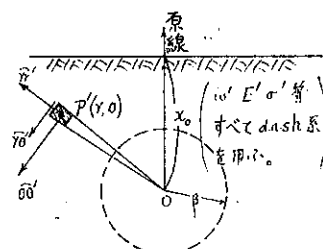
頂面が水平で、前後左右及下方に無限に擴がつた彈性体が、Body force の作用の下にあるとき、その内部の応力分布は、山口教授により求められてゐる。<sup>4)</sup> それに筆者の略記を許して頂き

$$\begin{aligned} \begin{bmatrix} \widehat{\gamma\gamma} \\ \widehat{\gamma\theta} \\ \widehat{\theta\theta} \end{bmatrix} &= \begin{bmatrix} -1 \\ 0 \\ -1 \end{bmatrix} \left(1 + \frac{\sigma}{1-\sigma}\right) \frac{W}{2} + \begin{bmatrix} 3+\sigma/(1-\sigma) \\ -1+\sigma/(1-\sigma) \\ 1+3\sigma/(1-\sigma) \end{bmatrix} \frac{V}{4} \begin{bmatrix} \gamma \\ \alpha \\ \theta \end{bmatrix} \\ &+ \begin{bmatrix} -1 \\ 1 \\ 1 \end{bmatrix} \left(1 - \frac{\sigma}{1-\sigma}\right) \frac{W}{2} \begin{bmatrix} \cos \\ \sin 2\theta \\ \cos \end{bmatrix} + \begin{bmatrix} 1 \\ -1 \\ -1 \end{bmatrix} \left(1 - \frac{\sigma}{1-\sigma}\right) \frac{V}{4} \begin{bmatrix} \gamma \\ \alpha \\ \theta \end{bmatrix} \begin{bmatrix} \cos \\ \sin 3\theta \\ \cos \end{bmatrix} \dots \dots \dots \quad (4.1) \end{aligned}$$

六二

$$\begin{bmatrix} W \\ V \end{bmatrix} = \begin{bmatrix} x_0 \\ a \end{bmatrix} \omega = \begin{bmatrix} \text{四孔中心迄} \\ \text{四孔半径長} \end{bmatrix} \text{の単位の柱の重量}$$

图-3



(4-1) を筆者の notation に都合の良い様に(図-3)

$$\left[ \begin{array}{c} W \\ V \end{array} \right] = \left[ \begin{array}{c} x_0 \\ \beta \end{array} \right] \omega' \quad \left. \right\} \dots \dots \dots \quad (4.2)$$

でかきかへると

$$S_{\theta'} = \begin{vmatrix} -1 & 4-\tau' & \cos \\ 0 & (2-\tau')\frac{\omega' x_0}{2} + & -\tau' \frac{\omega'}{4} \gamma \sin \theta \\ -1 & 4-3\tau' & \cos \end{vmatrix}$$

$$+ \begin{vmatrix} -1 & \cos & 1 & \cos \\ 1 & \tau' \frac{\omega' x_0}{2} \sin 2\theta + & -1 & \tau' \frac{\omega'}{4} \gamma \sin 3\theta \\ 1 & \cos & -1 & \cos \end{vmatrix} \dots \quad (4.3)$$

#### 4) 前掲<sup>1)</sup>

### 5. 周囲の重力体にて $\gamma = \infty$ の条件を入れる

円孔から充分離れた點に於ける stress は、孔のない場合のその點に於ける stress に殆ど等しく、又極限に於て兩者は相等しいと考へ得るから

(4.3) を (3.14) に倣つて書き直すと

$$S_0' = \begin{bmatrix} \begin{bmatrix} +1 \\ 0 \\ +1 \end{bmatrix} & / & \begin{bmatrix} -(2-\tau')\frac{\omega' x_0}{2} \end{bmatrix} \\ / & \begin{bmatrix} -4/\tau'+1 \\ +1 \\ -4/\tau'+3 \end{bmatrix} & \gamma^* & / & / & / & \begin{bmatrix} -\tau'\frac{\omega'}{4} \end{bmatrix} & / & / \\ \begin{bmatrix} -1 \\ 1 \\ 1 \end{bmatrix} & / & / & / & \begin{bmatrix} \omega' x_0 \\ 2 \end{bmatrix} & / & / & / & / \\ \begin{bmatrix} -1 \\ +1 \\ +1 \end{bmatrix} & \gamma & / & / & / & -\tau'\frac{\omega'}{4} & / & / & / \end{bmatrix} \quad \text{.....(5.2)}$$

之を(3-14)と較べて直ちに

$$M^{\prime \prime} \equiv \begin{bmatrix} (00)' & (01)' \\ (10)' & \overline{(11)}' & (12)' & (13)' \\ (20)' & (21)' & (22)' & (23)' \\ (30)' & (31)' & (32)' & (33)' \end{bmatrix} = \begin{bmatrix} / & -(2-\tau')\frac{\omega' x_0}{2} \\ / & -\tau'\frac{\omega'}{4} & / & / \\ \tau'\frac{\omega' x_0}{2} & 0 & / & / \\ -\tau'\frac{\omega'}{4} & 0 & / & / \end{bmatrix} \dots \quad (5.3)$$

即ち、周囲の重力体には尙ほ 8 個の未定の係数があるが、之等は円孔附近の境の條件等から定められる。

以後便宜上、既知の係数には上に bar をつける。

## 6. Stress を積分して displacement を求める

管と周囲の重力体との接觸面(図-1で $\gamma-\beta$ )で、displacementを考慮に入れなければならないから、次にstressを積分してdisplacementを求める。

stress と strain との関係式は、極座標系によれば

文

$$\begin{bmatrix} \Delta \\ e_{YY} \\ e_{Y\theta} \\ e_{\theta\theta} \end{bmatrix} = \left( \frac{\partial}{\partial \gamma}, \frac{1}{\gamma} \frac{\partial}{\partial \theta}, \frac{1}{\gamma} \right) \begin{bmatrix} u, & v, & w \\ u, & 0, & 0 \\ v, & u, & -v \\ 0, & v, & w \end{bmatrix}^T \quad \dots \quad (6.2)$$

(6.2) を (6.1) に代入すると

$$\begin{bmatrix} \widehat{\gamma\gamma} \\ \widehat{\gamma\theta} \\ \widehat{\theta\theta} \end{bmatrix} = \begin{bmatrix} 1 \\ 0 \\ -1 \end{bmatrix} \lambda \left( \frac{\partial}{\partial \gamma}, \frac{1}{\gamma} \frac{\partial}{\partial \theta}, \frac{1}{\gamma} \right) (u, v, u) + \mu \left( \frac{\partial}{\partial \gamma}, \frac{1}{\gamma} \frac{\partial}{\partial \theta}, \frac{1}{\gamma} \right) \begin{bmatrix} 2u, 0, 0 \\ v, u, -v \\ 0, 2v, 2u \end{bmatrix} \quad \dots (6.3)$$

$\widehat{\gamma\theta}$  を分離して

$$\begin{bmatrix} \widehat{\gamma\gamma} \\ \widehat{\theta\theta} \end{bmatrix} = \lambda \left( \frac{\partial}{\partial \gamma}, \frac{1}{\gamma} \frac{\partial}{\partial \theta}, \frac{1}{\gamma} \right) (u, v, w) + 2\mu \left( \frac{\partial}{\partial \gamma}, \frac{1}{\gamma} \frac{\partial}{\partial \theta}, \frac{1}{\gamma} \right) \begin{bmatrix} u, 0, 0 \\ 0, v, w \end{bmatrix}$$

整頓して

之から  $\frac{1}{\gamma} \left( u + \frac{\partial v}{\partial \theta} \right)$  を消去すると

$$4\mu(\lambda+\mu)\frac{\partial u}{\partial \gamma} = (\lambda+2\mu)\widehat{\gamma\gamma} - \lambda\widehat{\theta\theta}$$

積分して

### ④ はりのみの函数

又 (6.5) から  $\partial u / \partial y$  を消去し、上の 2 式を代入して  $\partial v / \partial \theta$  を求めると

$$4\dot{\mu}(\lambda+\mu)\frac{\partial v}{\partial \theta} = (\lambda+2\mu)(\gamma\widehat{\theta}\widehat{\theta} - \int \gamma\widehat{\gamma}d\gamma) - \lambda(\gamma\widehat{\gamma}\widehat{\gamma} - \int \widehat{\theta}\widehat{\theta}d\gamma) - \Theta$$

積分して(6.6)と対応させると

$$4\mu(\lambda+\mu) \begin{bmatrix} u \\ v \end{bmatrix} = (\lambda+2\mu) \begin{bmatrix} \int \widehat{\gamma\gamma} d\gamma \\ -\int d\theta \int \widehat{\gamma\gamma} d\gamma + \gamma \int \widehat{\theta\theta} d\theta \end{bmatrix} - \lambda \begin{bmatrix} \int \widehat{\theta\theta} d\gamma \\ -\int d\theta \int \widehat{\theta\theta} d\gamma + \gamma \int \widehat{\gamma\gamma} d\theta \end{bmatrix}$$

5) Love : Elasticity. 4th ed. p. 56.

$R$  は  $\gamma$  のみの函数

便宜上

$$\begin{bmatrix} u \\ v \end{bmatrix} = \begin{bmatrix} u_1 + u_2 \\ v_1 + v_2 \end{bmatrix} = \begin{bmatrix} u_1 \\ v_1 \end{bmatrix} + \begin{bmatrix} u_2 \\ v_2 \end{bmatrix}$$

にわけて

$$4\mu(\lambda+\mu) \begin{bmatrix} u_1 \\ v_1 \end{bmatrix} = (\lambda+2\mu) \begin{bmatrix} \int \widehat{rr} \, dy \\ - \int d\theta \int \widehat{rr} \, dy + y \int \widehat{\theta\theta} \, d\theta \end{bmatrix} - \lambda \begin{bmatrix} \int \widehat{\theta\theta} \, dy \\ - \int d\theta \int \widehat{\theta\theta} \, dy + y \int \widehat{rr} \, d\theta \end{bmatrix} \quad (6.8)$$

とする。

(3·13) 中

$$\int \begin{pmatrix} \gamma^{-2}, & 1 \\ \gamma^{-1}, & \gamma, & \gamma^{-3}, & \gamma^{-1} \\ 1, & \gamma^2, & \gamma^{-4}, & \gamma^{-2} \\ \gamma, & \gamma^3, & \gamma^{-5}, & \gamma^{-3} \end{pmatrix} d\gamma = \begin{pmatrix} -\gamma^{-1}, & \gamma \\ \log \gamma, & \frac{1}{2}\gamma^2, & -\frac{1}{2}\gamma^{-2}, & \log \gamma \\ \gamma, & \frac{1}{3}\gamma^3, & -\frac{1}{3}\gamma^{-3}, & -\gamma^{-1} \\ \frac{1}{2}\gamma^2, & \frac{1}{4}\gamma^4, & -\frac{1}{4}\gamma^{-4}, & -\frac{1}{2}\gamma^{-2} \end{pmatrix}$$

及

$$\int \Theta(\cos) d\theta = \begin{bmatrix} \theta \\ \sin \theta \\ \frac{1}{2} \sin 2\theta \\ \frac{1}{3} \sin 3\theta \end{bmatrix} \quad [(3.13) の記法から]$$

で、組合はせると

$-\gamma^{-1}\theta$	$\gamma\theta$	1
$\log \gamma$	$\frac{1}{2}\gamma^2$	$-\frac{1}{2}\gamma^2$
$\frac{1}{2}\gamma$	$\frac{1}{6}\gamma^3$	$-\frac{1}{6}\gamma^{-3}$
$\frac{1}{6}\gamma^2$	$\frac{1}{12}\gamma^4$	$-\frac{1}{12}\gamma^{-4}$
		$-\frac{1}{6}\gamma^{-2}$

之等により (3.13) を (6.8) に代入すると

$$4\mu(\lambda + \mu) \begin{bmatrix} u_1 \\ \vdots \\ v_1 \end{bmatrix}$$

$$\begin{aligned}
&= \begin{bmatrix} -2(\lambda+\mu) \\ 0 \end{bmatrix} \gamma^{-1}, \quad \begin{bmatrix} 2\mu \\ 0 \end{bmatrix} \gamma \\
&= \begin{bmatrix} 0 \\ -\lambda \end{bmatrix} + \begin{bmatrix} 1 \\ -1 \end{bmatrix} (\lambda+2\mu) \log \gamma, \quad \left\{ \begin{bmatrix} -\lambda+\mu \\ 3\lambda+5\mu \end{bmatrix} + \frac{\mu\omega}{(11)} \right\} \gamma^2, \quad (\lambda+\mu)\gamma^{-2}, \quad \begin{bmatrix} 0 \\ 2\mu \end{bmatrix} + \begin{bmatrix} 1 \\ -1 \end{bmatrix} 2\mu \log \gamma \\
&= 2 \begin{bmatrix} -1 \\ 1 \end{bmatrix} (\lambda+\mu)\gamma, \quad \frac{2}{3} \begin{bmatrix} -\lambda \\ 2\lambda+3\mu \end{bmatrix} \gamma^3, \quad \frac{2}{3} (\lambda+\mu)\gamma^{-3}, \quad 2 \begin{bmatrix} \lambda+2\mu \\ -\mu \end{bmatrix} \gamma^{-1} \\
&= \begin{bmatrix} -1 \\ 1 \end{bmatrix} (\lambda+\mu)\gamma^2, \quad \frac{1}{2} \begin{bmatrix} -3\lambda-\mu \\ 5\lambda+7\mu \end{bmatrix} \gamma^4, \quad \frac{1}{2} (\lambda+\mu)\gamma^{-4}, \quad \begin{bmatrix} 3\lambda+5\mu \\ \lambda-\mu \end{bmatrix} \gamma^{-2}
\end{aligned}
\quad \mathfrak{M} \otimes \begin{bmatrix} \cos \\ \sin \end{bmatrix} \quad (6.10)$$

之を (6.4) に代入すると

$$\widehat{\gamma\theta} = \mu \left[ \frac{1}{\gamma} \frac{\partial u_1}{\partial \theta} + \left( \frac{\partial}{\partial \gamma} - \frac{1}{\gamma} \right) r_1 \right]$$

$$= \begin{vmatrix} 0 & 0 \\ -\frac{\mu}{2(\lambda+\mu)}\gamma^{-1} & \gamma & -\gamma^{-3} & -\frac{\mu}{\lambda+\mu}\gamma^{-1} \\ 1 & \gamma^2 & -\gamma^{-4} & -\gamma^{-2} \\ \gamma & 3\gamma^3 & -\gamma^{-5} & -3\gamma^{-3} \end{vmatrix} \mathfrak{M} \Theta(\sin)$$

(3.13) から  $\hat{y}\theta$  を拾ひ出すと

$$\widehat{\gamma\theta} = \begin{vmatrix} 0 & 0 \\ 0 & \gamma & -\gamma^{-3} & \gamma^{-1} \\ 1 & \gamma^2 & -\gamma^{-4} & -\gamma^{-2} \\ \gamma & 3\gamma^3 & -\gamma^{-5} & -3\gamma^{-3} \end{vmatrix} \mathfrak{M} \Theta(\sin)$$

上の 2 式を較べて

これは (6-9) の  $(u_2, v_2)$  を考慮に入れない displacement  $(u_1, v_1)$  から導いた関係式であるが、 $(u_2, v_2)$  は stress に contribute しない故、上の様に取扱つてもよいと看へられる。

Lamé の常数  $\lambda, \mu$  と, Young 率  $E$ , Poisson 比  $\sigma$  との関係式:

によりて、(6.11) を書き直すと

之は、dislocation を起きないといふ一般的な條件の下に、山口教授により巧妙に求められてゐる関係式<sup>6)</sup>で、本

## 6) 前掲 1)

文では原線に關し對稱な場合に局限して求めた。一般に求めるのに(2-4)を直接處理してもいいわけであるが、此の際に

は

$$\begin{bmatrix} b_1' \\ d_1' \end{bmatrix} = -\frac{1}{4} \left( 1 - \frac{\sigma}{1-\sigma} \right) \begin{bmatrix} a_1 \\ -c_1 \end{bmatrix}$$

が二つ共得られる。

之等の關係が、plane stress の場合には

$$\begin{bmatrix} b_1' \\ d_1' \end{bmatrix} = -\frac{1}{4} (1-\sigma) \begin{bmatrix} a_1 \\ -c_1 \end{bmatrix}^T$$

となる、即ち

$$\text{plane strain: } 1 - \frac{\sigma}{1-\sigma}$$

$$\text{plane stress: } 1 - \sigma$$

なる對応の在ることも、山口教授の指摘せられてゐる所である。

(6-9) を (6-4) に代入すると

$$\left( \gamma \frac{dR}{d\gamma} - R \right) + \left( \frac{d\Theta}{d\theta} + \int \Theta d\theta \right) = 0$$

$$\left. \begin{array}{l} \therefore \gamma \frac{dR}{d\gamma} - R = -C \\ \frac{d\Theta}{d\theta} + \int \Theta d\theta = C \end{array} \right\} \quad (C \text{ は常数}) \quad (6-14)$$

之等を解くと

$$R = A\gamma + C$$

$$\int \Theta d\theta = k_1 \cos \theta + k_2 \sin \theta + C \quad (k_1, k_2 \text{ は積分常数})$$

(6-9) に入れて

$$4\mu(\lambda+\mu) \begin{bmatrix} u_2 \\ v_2 \end{bmatrix} = \begin{bmatrix} 0 \\ A\gamma \end{bmatrix} - k_1 \begin{bmatrix} \sin \theta \\ \cos \theta \end{bmatrix} + \begin{bmatrix} k_2 \cos \theta \\ -k_2 \sin \theta \end{bmatrix}$$

而て、對稱の關係から、原線上では、tangential displacement は零でなければならない、即ち

$$(v = v_1 + v_2)_{\theta=0} = (v_2)_{\theta=0} = 0$$

でなければならないから

$$A = k_1 = 0$$

$$\therefore 4\mu(\lambda+\mu) \begin{bmatrix} u_2 \\ v_2 \end{bmatrix} = \begin{bmatrix} k_2 \cos \theta \\ -k_2 \sin \theta \end{bmatrix}$$

$k_2$  は常数であるから、改めて

$$\begin{bmatrix} u_2 \\ v_2 \end{bmatrix} = \begin{bmatrix} (14) \cos \theta \\ -(14) \sin \theta \end{bmatrix} \quad (6-15)$$

<sup>7)</sup> 次の中に此の關係あるを見た。

Timoshenko: Theory of Elasticity, p. 116.

同譯本(非版・江崎・森 3 氏共譯)(コロナ社), p. 94.

とがく。之も管及周囲の重力体に共通な形であるが、管では

でなければならない。それは、此の項は rigid body displacement であつて、坐標原點は常に管の中心においてゐるからである。rigid body displacement であることは、stress を積分した過程から明かで、(6.3)に代入してみても矢張り 0 になる。  
 $u_3, v_3$  のベクトル和は、その大きさが

$$|V| = \sqrt{(u_2)^2 + (v_2)^2} = \sqrt{[(14) \cos \theta]^2 + [-(14) \sin \theta]^2} = (14)$$

で原線となす角が

$$\arg V = 0 \quad \text{或は} \quad \pi$$

である(図-4)。

之等を (6.10) と組合せて、(6.7) は次の様になる。

$$D' \equiv \begin{bmatrix} u' \\ v' \end{bmatrix} \equiv \begin{bmatrix} / & / \\ / & / & / & / \\ / & / & / & / \\ / & / & / & / \end{bmatrix} \begin{bmatrix} 1 \\ -1 \end{bmatrix} \quad m_1 \oplus \begin{bmatrix} \cos \\ \sin \end{bmatrix} \cdots \cdots (6-18)$$

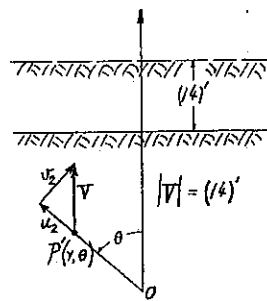
(此の中は上と全く同一で dash を附ければよい。)

$m_1'$  は (14)' を餘分に含んだものとし、

$$\mathfrak{M}_1' = \begin{bmatrix} (00)' & (01)' \\ (10)' & (11)' & (12)' & (13)' & (14)' \\ (20)' & (21)' & (22)' & (23)' \\ (30)' & (31)' & (32)' & (33)' \end{bmatrix} \dots \quad (6.19)$$

をあらはす。

四-4



## 7. 円孔附近の境の條件を考慮に入れる

管及周囲の重力体の、夫々の stress 及 displacement に円孔附近の境の條件を入れて、未定の係數を決める。管の内径を  $\alpha$ 、管の外径、即ち周囲の重力体との接觸円の半径を  $\beta$  (図-1) とすれば、接觸面で相互のずれがないとして、境の條件は

$$\left\{ \begin{array}{l} (3.13) \text{ の } \begin{bmatrix} \hat{\gamma} \\ \gamma^* \end{bmatrix} = 0 \\ \end{array} \right\}_{\gamma=a} \dots \dots \dots \quad (7.1)$$

である。

(7-1) から

$$\left[ \begin{array}{c} 1 \\ 0 \end{array} \right] \alpha^{-2} \quad \left[ \begin{array}{c} 1 \\ 0 \end{array} \right] \alpha^{-1} \left[ \begin{array}{c} 1 + \omega/(11) \\ 1 \end{array} \right] \alpha^{-3} \quad \alpha^{-1}$$

$$\left[ \begin{array}{c} -1 \\ 1 \end{array} \right] \quad \left[ \begin{array}{c} 0 \\ 1 \end{array} \right] \alpha^2 \quad -\alpha^{-4} \quad \left[ \begin{array}{c} -2 \\ -1 \end{array} \right] \alpha^{-2}$$

$$\left[ \begin{array}{c} -1 \\ 1 \end{array} \right] \alpha^{-5} \quad \left[ \begin{array}{c} -1 \\ 3 \end{array} \right] \alpha^3 \quad -\alpha^{-5} \quad \left[ \begin{array}{c} -5 \\ -3 \end{array} \right] \alpha^{-3}$$

横向きに 1 行宛 0 になり、7 個の式を含む。第 1 行は、 $\mathbf{B}_1$  の第 1 行が (00), (01) であるから

$$\alpha^{-2}(00)+(01)=0$$

で、以下同様。

(7-2) から

之も 7 個の式を含み、例へば第 1 行は

$$\beta^{-2}(00) + (01) = \beta^{-2}(00)' + (01)'$$

(7-3) から

$$\begin{aligned}
 & \left[ \frac{1}{2\mu} \begin{bmatrix} -1 \\ 0 \end{bmatrix} \beta^{-1}, \quad \frac{1}{2(\lambda+\mu)} \begin{bmatrix} 1 \\ 0 \end{bmatrix} \beta \right] \\
 & \left[ \frac{1}{4\mu(\lambda+\mu)} \begin{bmatrix} 0 \\ -\lambda \end{bmatrix}, \quad \frac{1}{4\mu(\lambda+\mu)} \begin{bmatrix} -\lambda+\mu \\ 3\lambda+5\mu \end{bmatrix}, \quad \frac{1}{4\mu} \beta^{-2}, \quad \frac{1}{2(\lambda+\mu)} \left\{ \begin{bmatrix} 1 \\ 0 \end{bmatrix} + \begin{bmatrix} 1 \\ -1 \end{bmatrix} \log \beta \right\} \right. \\
 & \quad \left. + \begin{bmatrix} 1 \\ -1 \end{bmatrix} (\lambda+2\mu) \log \beta \right], \quad + \frac{\mu\omega}{(11)} \beta^2, \\
 & \left[ \frac{1}{2\mu} \begin{bmatrix} -1 \\ 1 \end{bmatrix} \beta, \quad \frac{1}{6\mu(\lambda+\mu)} \begin{bmatrix} -\lambda \\ 2\lambda+3\mu \end{bmatrix} \beta^3, \quad \frac{1}{6\mu} \beta^{-3}, \quad \frac{1}{2\mu(\lambda+\mu)} \begin{bmatrix} \lambda+2\mu \\ -\mu \end{bmatrix} \beta^{-1} \right. \\
 & \quad \left. \frac{1}{4\mu} \begin{bmatrix} -1 \\ 1 \end{bmatrix} \beta^3, \quad \frac{1}{8\mu(\lambda+\mu)} \begin{bmatrix} -\beta\lambda-\mu \\ 3\lambda+7\mu \end{bmatrix} \beta^4, \quad \frac{1}{8\mu} \beta^{-4}, \quad \frac{1}{4\mu(\lambda+\mu)} \begin{bmatrix} 3\lambda+5\mu \\ \lambda-\mu \end{bmatrix} \beta^{-2} \right] \\
 & = \left[ \begin{array}{cccc|c} / & / & / & / & \begin{bmatrix} 1 \\ -1 \end{bmatrix} \\ / & / & / & / & \\ / & / & / & / & \\ / & / & / & / & \end{array} \right] \mathfrak{M}_1' \quad \dots \dots \dots \quad (7-6)
 \end{aligned}$$

(/ 印は左邊のものを dash 系にかへればよい)。

之も 7 個の式を含み、例へば第 1 行は

$$-\frac{1}{2\mu} \beta^{-1}(00) + \frac{1}{2(\lambda+\mu)} \beta(01) = -\frac{1}{2\mu'} \beta^{-1}(00)' + \frac{1}{2(\lambda'+\mu')} \beta(\overline{01})'$$

## 8. 未定の係数を決める

I.  $(00), (01), (00)'$  の決定:

(7-4), (7-5), (7-6) の夫々の第 1 行を拾ひ出して

$$\begin{aligned}
 & \left[ (00), \quad (01), \quad (00)', \quad (\overline{01})' \right] \\
 & \mathfrak{M}_1' \equiv \left[ \begin{array}{cccc} \alpha^{-2}, & 1, & 0, & 0 \\ \beta^{-2}, & 1, & -\beta^{-2}, & -1 \\ -\frac{1}{2\mu} \beta^{-1}, & \frac{1}{2(\lambda+\mu)} \beta, & +\frac{1}{2\mu'} \beta^{-1}, & -\frac{1}{2(\lambda'+\mu')} \beta \end{array} \right] \quad \dots \dots \dots \quad (8-1)
 \end{aligned}$$

分母行列式、即ち最後の column を除いた行列式を  $\Delta$ 、夫々の分子行列式、即ち夫々の未定係數の下の column を除いた行列式を  $\Delta(00), \Delta(01), \Delta(00)'$  であらはすと

$$\begin{bmatrix} (00) \\ (01) \\ (00)' \end{bmatrix} = \begin{bmatrix} -\Delta(00) \\ \Delta(01) \\ -\Delta(00)' \end{bmatrix} \frac{(01)'}{\Delta_0} \quad \dots \dots \dots \quad (8-2)$$

例へば

$$(00) = - \begin{bmatrix} 1, & 0, & 0 \\ 1, & -\beta^{-2}, & -1 \\ \frac{1}{2(\lambda+\mu)}\beta, & +\frac{1}{2\mu'}\beta^{-1}, & -\frac{1}{2(\lambda'+\mu')}\beta \end{bmatrix} \cdot \bar{e} \quad (01)' \dots \dots \dots \quad (8-3)$$

$$\begin{bmatrix} \alpha^{-2} & 1 & 0 \\ \beta^{-2} & 1 & -\beta^{-2} \\ -\frac{1}{2\mu}\beta^{-1} & \frac{1}{2(\lambda+\mu)}\beta & +\frac{1}{2\mu'}\beta^{-1} \end{bmatrix}$$

一般に  $n$  元一次の聯立方程式を

$$n+1\vartheta \equiv \begin{bmatrix} x_1, & x_2, & x_3, & \dots & x_n, & \bar{e} \\ (11), & (12), & (13), & \dots & (In), & c_1 \\ (21), & (22), & \dots & \dots & (2n), & c_2 \\ \vdots & \vdots & \vdots & \vdots & \vdots & \vdots \\ (n1), & (n2), & \dots & \dots & (nn), & c_n \end{bmatrix}$$

とすると  $x_Y$  は

$$x_Y = (-1)^{n+1}(-1)^Y \frac{\Delta(x_Y)}{\Delta(c)}$$

で上の場合は

$$n+1=4, \quad x_Y=(00), \quad \therefore (00) = -\frac{\Delta(00)}{\Delta(c)} \bar{e} \quad \text{等。}$$

III. (10), (11), (12), (10)', (12)', (14)' の決定:

(6-11) により

$$(13) = -\frac{\mu}{2(\lambda+2\mu)}(10)$$

$$(13)' = -\frac{\mu'}{2(\lambda'+2\mu')}(10)'$$

(6-16) により

$$(14)=0$$

であるから、円孔附近の境の條件に對して、上の 6 個を未定の係數に選び、(7-4), (7-5), (7-6) の夫々の第 3, 4 行を拾ひ出して

$$n+1\vartheta_1 \equiv \begin{bmatrix} (10), & (11), & (12), & (10)' \\ \left[1-\frac{\mu}{2(\lambda+2\mu)}\right]\alpha^{-1}, & \alpha, & -\alpha^{-2}, & 0 \\ -\frac{\mu}{2(\lambda+2\mu)}\alpha^{-1}, & \alpha, & -\alpha^{-2}, & 0 \\ \left[1-\frac{\mu}{2(\lambda+2\mu)}\right]\beta^{-1}, & \beta, & -\beta^{-2}, & -\left[1-\frac{\mu'}{2(\lambda'+2\mu')}\right]\beta^{-1}, \end{bmatrix}$$

$-\frac{\mu}{2(\lambda+2\mu)}\beta^{-1},$	$\beta,$	$-\beta^{-3},$	$+\frac{\mu'}{2(\lambda'+2\mu')}\beta^{-1},$
$\frac{\log \beta}{4(\lambda+\mu)} \left[ \frac{\lambda+2\mu}{\mu} - \frac{\mu}{\lambda+2\mu} \right],$	$\frac{-\lambda+\mu}{4\mu(\lambda+\mu)}\beta^2,$	$\frac{1}{4\mu}\beta^{-2},$	$\frac{-\log \beta}{4(\lambda'+\mu')} \left[ \frac{\lambda'+2\mu'}{\mu'} - \frac{\mu'}{\lambda'+2\mu'} \right],$
$\frac{-1}{4(\lambda+\mu)} \left[ \frac{\lambda+(\lambda+2\mu)\log \beta + \mu(1-\log \beta)}{\mu} + \frac{3\lambda+5\mu}{\lambda+2\mu} \right],$	$\frac{3\lambda+5\mu}{4\mu(\lambda+\mu)}\beta^2,$	$\frac{1}{4\mu}\beta^{-2},$	$\frac{+1}{4(\lambda'+\mu')} \left[ \frac{\lambda' + (\lambda' + 2\mu')\log \beta + \mu'(1-\log \beta)}{\mu'} \right],$
(12)', (14)',	(11)'		
0, 0,	$\frac{1}{(11)'} \omega \alpha \epsilon$		
0, 0,	0		
$+\beta^{-3},$ 0,	$\left[ -1 + \left\{ -\omega' + \omega \right\} \frac{1}{(11)'} \right] \beta$		
$+\beta^{-3},$ 0,	$-\beta,$		
$-\frac{1}{4\mu'}\beta^{-2},$ -1,	$\left[ \frac{\lambda'-\mu'}{4\mu'(\lambda'+\mu')} + \left\{ \frac{-\mu'\omega'}{8\mu'(\lambda'+\mu')} + \frac{\mu\omega}{8\mu(\lambda+\mu)} \right\} \frac{1}{(11)'} \right] \beta^2$		
$-\frac{1}{4\mu'}\beta^{-2},$ +1,	$\left[ \frac{-3\lambda'-5\mu'}{4\mu'(\lambda'+\mu')} + \left\{ \frac{-\mu'\omega'}{8\mu'(\lambda'+\mu')} + \frac{\mu\omega}{8\mu(\lambda+\mu)} \right\} \frac{1}{(11)'} \right] \beta^2$		(8-4)

之から未定の係数は夫々、(8.2) と同様に

### III. (20), (21), (22), (23), (22)', (23)' の決定:

(5-3) により

$$\overline{(20)}' = \tau' \frac{\omega' x_0}{2}$$

$$\overline{(21)'} = 0$$

故に 2 で始まる係数は上の 6 個が未定で、之等を決める式は (7.4), (7.5), (7.6) の夫々の第 5, 6 行を拾ひ出して

$$-\frac{1}{2\mu}\beta, -\frac{\lambda}{6\mu(\lambda+\mu)}\beta^3, \frac{1}{6\mu}\beta^{-3}, \frac{\lambda+2\mu}{2\mu(\lambda+\mu)}\beta^{-1} - \frac{1}{6\mu'}\beta^{-3}, -\frac{\lambda'+2\mu'}{2\mu'(\lambda'+\mu')}, +\frac{1}{2\mu'}\beta$$

$$\frac{1}{2\mu}\beta, \frac{2\lambda+3\mu}{6\mu(\lambda+\mu)}\beta^3, \frac{1}{6\mu}\beta^{-3}, -\frac{1}{2(\lambda+\mu)}\beta^{-1}, -\frac{1}{6\mu}\beta^{-3}, +\frac{1}{2(\lambda'+\mu')}\beta^{-1}, -\frac{1}{2\mu'}\beta$$

之から未定の係数は夫々

#### IV. (30), (31), (32), (33), (32)', (33)' の決定:

(5-8)により

$$(\overline{30})' = -\tau' \frac{\omega'}{4}$$

$$(3\bar{1})' = 0$$

故に 3 で始まる係数は上の 6 個が未定で、之等を決める式は (7-4), (7-5), (7-6) の夫々の第 7, 8 行を拾ひ出して

	(30),	(31),	(32),	(33),	(32),	(33),	$\overline{(30)}'$
	$-\alpha,$	$-\alpha^3,$	$-\alpha^{-5},$	$-5\alpha^{-3},$	0,	0,	0
	$\alpha,$	$3\alpha^3,$	$-\alpha^{-5},$	$-3\alpha^{-3},$	0,	0,	0
	$-\beta,$	$-\beta^3,$	$-\beta^{-5},$	$-5\beta^{-3},$	$+\beta^{-5},$	$+5\beta^{-3},$	$+\beta$
$a+1\vartheta_3 =$	$\beta,$	$3\beta^3,$	$-\beta^{-5},$	$-3\beta^{-3},$	$+\beta^{-5},$	$+3\beta^{-3},$	$-\beta$
	$-\frac{1}{4\mu}\beta^2, -\frac{3\lambda-\mu}{8\mu(\lambda+\mu)}\beta^4, \frac{1}{8\mu}\beta^{-4}, \frac{3\lambda+5\mu}{4\mu(\lambda+\mu)}\beta^{-2}, -\frac{1}{8\mu'}\beta^{-4}, -\frac{3\lambda'+5\mu'}{4\mu'(\lambda'+\mu')} \beta^{-2} + \frac{1}{4\mu'}\beta^2$						$\dots(8.8)$
	$\frac{1}{4\mu}\beta^2, \frac{5\lambda+7\mu}{8\mu(\lambda+\mu)}\beta^4, \frac{1}{8\mu}\beta^{-4}, \frac{\lambda-\mu}{4\mu(\lambda+\mu)}\beta^{-2}, -\frac{1}{8\mu'}\beta^{-4}, -\frac{\lambda'-\mu'}{4\mu'(\lambda'+\mu')}\beta^{-2}, -\frac{1}{4\mu'}\beta^2$						

之から未定の係數は夫々

$$\begin{aligned}
 (30) &= \Delta(30) \\
 (31) &= -\Delta(31) \\
 (32) &= \Delta(32) \\
 (33) &= -\Delta(33) \\
 (32)' &= \Delta(32)' \\
 (33)' &= -\Delta(33)'
 \end{aligned} \quad \dots \quad (8.9)$$

以上ですべての係数が決定したから、之等を (3-13) の  $S$ , (3-15) の  $S'$  に代入して stress が得られ、(6-17) の  $D$ , (6-18) の  $D'$  に代入して displacement が得られる。

尙ほ、山口教授によつて解かれた無裝の場合と較べてみると、管の彈性常數等、 $\lambda$ 、 $\mu$ 、 $\omega$  が、周囲の重力体その

れ等,  $\lambda'$ ,  $\mu'$ ,  $\omega'$  に等しい時,  $S$  及び  $S'$  は共に山口教授の結果<sup>8)</sup>に合はねばならぬ筈である。此の計算は可成り繁雑なので、便宜  $\beta=\alpha$  の條件を添加して、一致することを確認した。その計算は茲には省略する。

### 9. 数値計算例及此の場合の結論

管をコンクリート、周囲の重力体を土として、Lamé の常数及密度を

$$\lambda = 5.0 \times 10^4 \text{ kg/cm}^2 \quad \lambda' = \infty \quad \mu = 10.0 \times 10^4 \text{ kg/cm}^2 \quad \mu' = 20 \text{ kg/cm}^2$$

$$\omega = 2.3 \times 10^3 \text{ kg/m}^3 \quad \omega' = 1.6 \times 10^3 \text{ kg/m}^3$$

とし、

表-1.

係數 捲厚 cm	(00) kg-m	(01) kg-m	(00)' kg-m	(01)' kg-m
10	$+20.432 \times 10^6$	$-81.728 \times 10^4$	$+69.3 \times 10^2$	$-3.20 \times 10^4$
20	10.556	42.225	36.8	"
30	7.252	29.008	25.6	"
40	5.596	22.383	19.8	"
50	4.602	18.406	16.6	"
60	3.939	15.756	14.5	"
70	3.466	13.864	13.0	"
80	3.111	12.445	11.8	"

表-2.

係數 捲厚 cm	(10) kg-m	(11) kg-m	(12) kg-m	(13) kg-m	(14)
10	$-5.750 \times 10^4$	$+96.004 \times 10^2$	$+62.878 \times 10^6$	$+1.150 \times 10^4$	0
20	"	46.672	32.045	"	"
30	"	30.114	21.696	"	"
40	"	21.804	16.502	"	"
50	"	16.810	13.381	"	"
60	"	13.472	11.295	"	"
70	"	11.086	9.804	"	"
80	"	9.289	8.681	"	"

表-3.

係數 捲厚 cm	(10)' kg-cm	(11)' kg-m	(12)' kg-m	(13)' kg-m	(14)' cm
10	$-3.93 \times 10^4$	0	$-5.06 \times 10^6$	0	+10.443
20	3.86	"	5.19	"	10.350
30	3.78	"	5.30	"	10.245
40	3.71	"	5.39	"	10.139
50	3.63	"	5.48	"	10.005
60	3.56	"	5.56	"	9.871
70	3.48	"	5.64	"	9.728
80	3.40	"	5.70	"	9.577

8) 前掲り

$$x_0 = 20 \text{ m}, \alpha = 5.0 \text{ m}, \beta = 5.1 \text{ m}, 5.2 \text{ m}, \dots, 5.8 \text{ m}$$

として、(8.2), (8.5)により係数を計算すると表-1~3の様である。

(14)'が正であるのは相対的には管が全体として沈むことで、その値の変化の様子をみると、捲厚が大きくなるにつれて沈みの量が小さくなつてゐる。之は一寸逆説的な結果の様に思はれる。管の外側の半径 ( $\gamma = \beta$ ) を一定にして、捲厚を内側で変化した時には、厚くするにつれて、沈みが大きくなる様で、常識に一致する。

(3.13), (3.15)に於て

$$S = \begin{bmatrix} \hat{\gamma\gamma} \\ \hat{\gamma\theta} \\ \hat{\theta\theta} \end{bmatrix} = \begin{bmatrix} A_{\gamma\gamma} \\ A_{\gamma\theta} \\ A_{\theta\theta} \end{bmatrix} + \begin{bmatrix} B_{\gamma\gamma} \cdot \cos \theta \\ B_{\gamma\theta} \cdot \sin \theta \\ B_{\theta\theta} \cdot \cos \theta \end{bmatrix}$$

$$S' = \begin{bmatrix} \hat{\gamma\gamma}' \\ \hat{\gamma\theta}' \\ \hat{\theta\theta}' \end{bmatrix} = \begin{bmatrix} A_{\gamma\gamma}' \\ A_{\gamma\theta}' \\ A_{\theta\theta}' \end{bmatrix} + \begin{bmatrix} B_{\gamma\gamma}' \cos \theta \\ B_{\gamma\theta}' \sin \theta \\ B_{\theta\theta}' \cos \theta \end{bmatrix}$$

とかき、 $A_{\gamma\gamma}, A_{\gamma\theta}, \dots, B_{\theta\theta}'$ を表にすると表-4~7の様である。

表-4.

管で  $\gamma = 5.0 \text{ m}$  のとき (単位は kg-cm)

係数 捲厚 cm	$A_{\gamma\gamma}$	$A_{\gamma\theta}$	$A_{\theta\theta}$	$B_{\gamma\gamma}$	$B_{\gamma\theta}$	$B_{\theta\theta}$
10	0.000	0	-163.456	0.000	0.000	+20.811
20	-0.001	"	-84.449	"	"	+10.944
30	0.000	"	-58.016	"	"	+7.638
40	+0.001	"	-44.767	"	"	+5.971
50	+0.002	"	-36.814	"	"	+4.972
60	0.000	"	-31.512	"	"	+4.304
70	0.000	"	-27.728	"	"	+3.827
80	-0.001	"	-24.889	"	"	+3.468

表-5.

管で  $\gamma = \beta$  ( $\beta = 5.1 \text{ m} \sim 5.8 \text{ m}$ ) のとき

係数 捲厚 cm	$A_{\gamma\gamma}$	$A_{\gamma\theta}$	$A_{\theta\theta}$	$B_{\gamma\gamma}$	$B_{\gamma\theta}$	$B_{\theta\theta}$
10	-3.174	0	-160.282	+0.427	+0.382	+20.823
20	-3.187	"	-81.263	+0.459	+0.369	10.977
30	-3.191	"	-54.835	+0.490	+0.356	7.681
40	-3.192	"	-41.574	+0.520	+0.342	6.035
50	-3.193	"	-33.619	+0.549	+0.329	5.052
60	-3.195	"	-28.317	+0.578	+0.317	4.400
70	-3.196	"	-24.532	+0.606	+0.304	3.938
80	-3.197	"	-21.693	+0.635	+0.292	3.594

周囲の重力体で  $\gamma = \beta$  のとき

表-6.

係数 捲厚 cm	$A_{\gamma\gamma'}$	$A_{\gamma\theta'}$	$A_{\theta\theta'}$	$B_{\gamma\gamma'}$	$B_{\gamma\theta'}$	$B_{\theta\theta'}$
10	-3.173	0	-3.227	+0.426	+0.381	+1.197
20	-3.186	"	-3.214	+0.459	+0.369	+1.201
30	-3.191	"	-3.209	+0.491	+0.359	+1.204
40	-3.193	"	-3.207	+0.519	+0.342	+1.206
50	-3.195	"	-3.205	+0.549	+0.329	+1.209
60	-3.195	"	-3.205	+0.577	+0.317	+1.213
70	-3.196	"	-3.204	+0.606	+0.305	+1.217
80	-3.196	"	-3.204	+0.634	+0.292	+1.220

周囲の重力体で  $\gamma = 10^m$  のとき

表-7.

係数 捲厚 cm	$A_{\gamma\gamma'}$	$A_{\gamma\theta'}$	$A_{\theta\theta'}$	$B_{\gamma\gamma'}$	$B_{\gamma\theta'}$	$B_{\theta\theta'}$
10	-3.193	0	-3.207	+1.258	+0.051	+1.549
20	-3.196	"	-3.204	+1.266	+0.052	+1.548
30	-3.197	"	-3.203	+1.275	+0.053	+1.547
40	-3.198	"	-3.202	+1.283	+0.054	+1.546
50	-3.198	"	-3.202	+1.292	+0.055	+1.545
60	-3.199	"	-3.201	+1.300	+0.056	+1.544
70	-3.199	"	-3.201	+1.308	+0.056	+1.544
80	-3.199	"	-3.201	+1.317	+0.057	+1.543

表-4 に於て

$$A_{\gamma\gamma} \neq 0, A_{\gamma\theta} = 0, B_{\gamma\gamma} \neq 0, B_{\gamma\theta} = 0$$

は (7-1) の検證で、表-5 と 表-6 とを較べて

$$A_{\gamma\gamma} \neq A_{\gamma\gamma'}, A_{\gamma\theta} = A_{\gamma\theta'}, B_{\gamma\gamma} \neq B_{\gamma\gamma'},$$

$$B_{\gamma\theta} = B_{\gamma\theta'}$$

は (7-2) の検證である。

上の表をみると、管の hoop stress が格段に大きく、周囲の重力体のそれは 10 % にも足りない位小さい。管の hoop stress の最大は真下の内面で起り、最小は真上の外面で起る。周囲の重力体の stress は円孔を去るも急激に減少しない。 $\hat{\gamma}\gamma, \hat{\gamma}\gamma'$  は値は小さいが、あらゆる場所で負で、接觸面で離れない様に働いてゐることになる。

表-4 に於て  $A_{\theta\theta}$  と  $B_{\theta\theta}$  との絶対値の和を縦軸にとり、捲厚を横軸にとつて、グラフを畫けば 図-5 の様である。之よりコンクリートの許容圧应力を  $50 \text{ kg/cm}^2$  位とすれば、適當な捲厚は 40 cm 位である。

捲厚 40 cm の場合に就て 6 個の stress を図示すれば 図-6 ～ 図-11 の様である。

図-5.

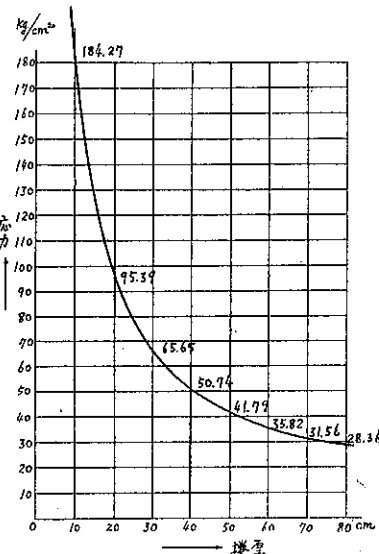


圖-6.

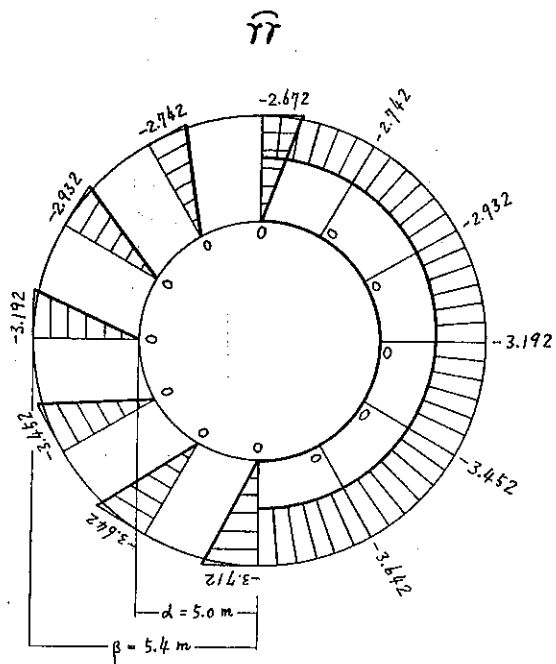


図-7.

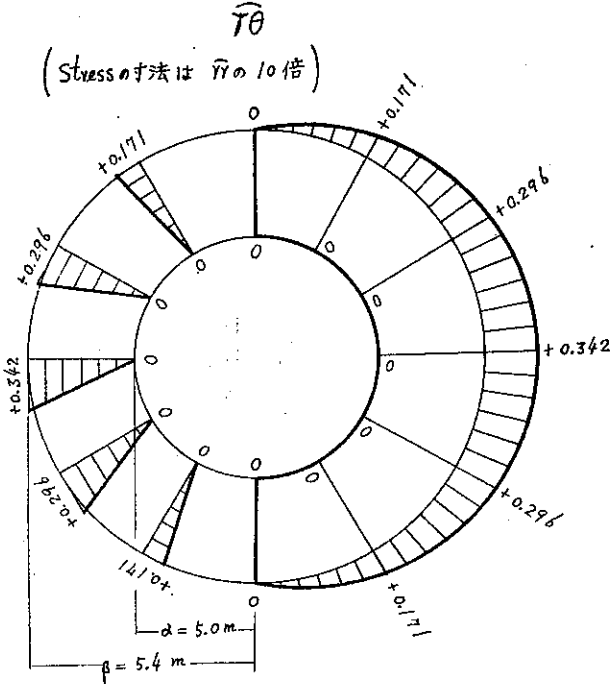
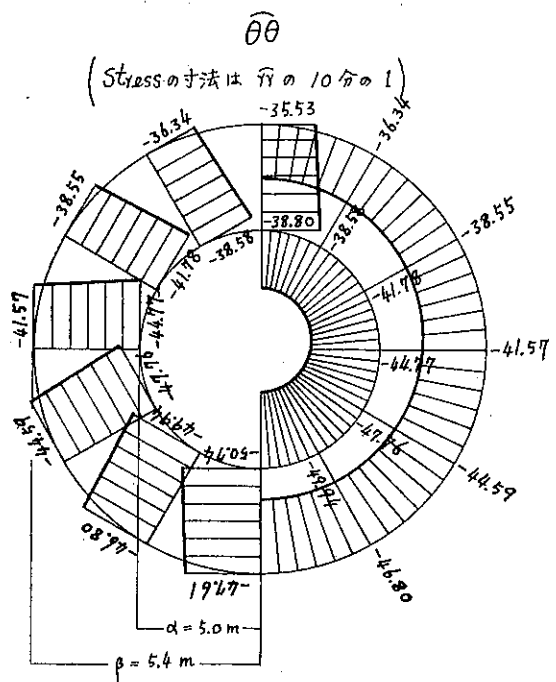


図-8.



四-9.

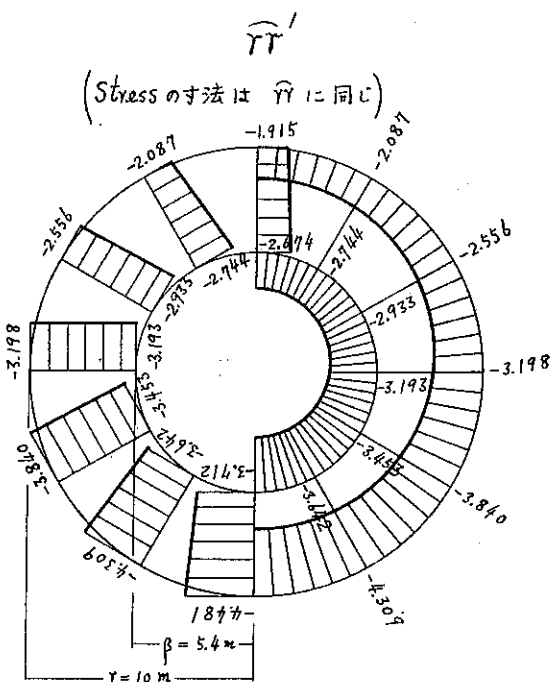


図-10.

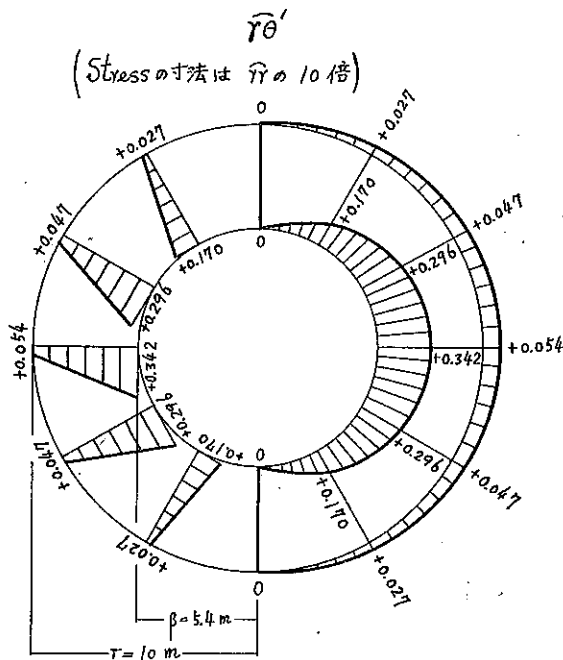


図-11.

